

Αλγόριθμος DNS (Dekeel, Nassimi, Sahni [1981])

για τον πολλαπλασιασμό δύο  $n \times n$  πινάκων

Αριθμός επεξεργασιών:  $N = n^3 = 2^{39}$

Δίκτυο ενδοεπικοινωνίας: Υπερκύβος

Λογικό 3-D array  $\xrightarrow{\text{απεικόνιση}}$  Υπερκύβος 3-D

# Σχηματική Λειτουργία του αλγορίθμου DNS

Παράδειγμα :  $A = \begin{bmatrix} 1 & 2 \\ 3 & 4 \end{bmatrix}$ ,  $B = \begin{bmatrix} -5 & -6 \\ 7 & 8 \end{bmatrix}$   $n=2$   
 $N=2^3$   
 $q=1$

- Αρχική καταχώρηση των A και B

Επεξεργαστής

στοιχείο του A

στοιχείο του B

$P_0$

$$A(0) = \alpha_{11} = 1$$

$$B(0) = b_{11} = -5$$

$P_1$

$$A(1) = \alpha_{12} = 2$$

$$B(1) = b_{12} = -6$$

$P_2$

$$A(2) = \alpha_{21} = 3$$

$$B(2) = b_{21} = 7$$

$P_3$

$$A(3) = \alpha_{22} = 4$$

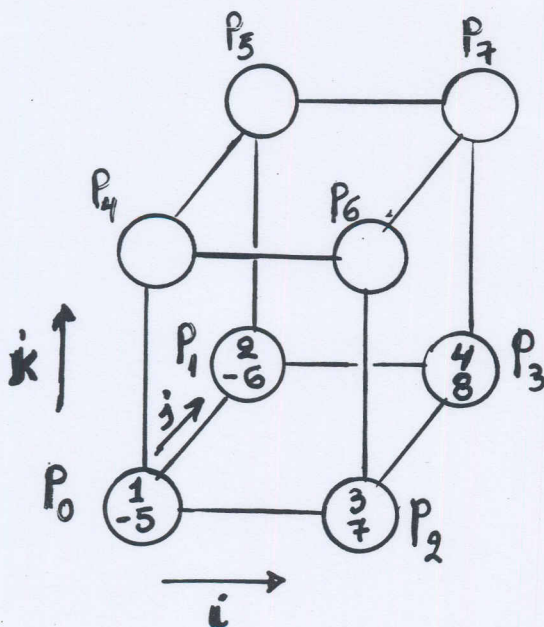
$$B(3) = b_{22} = 8$$

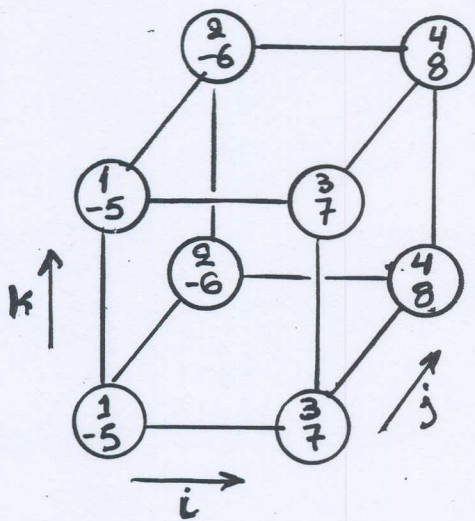
$P_4$

$P_5$

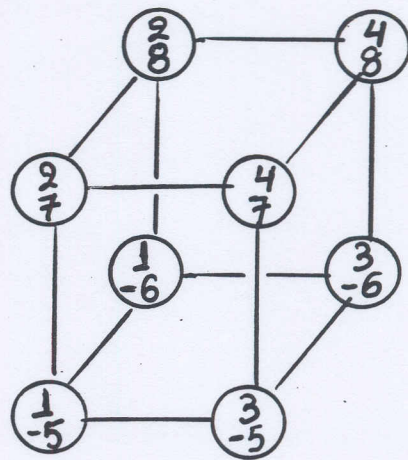
$P_6$

$P_7$



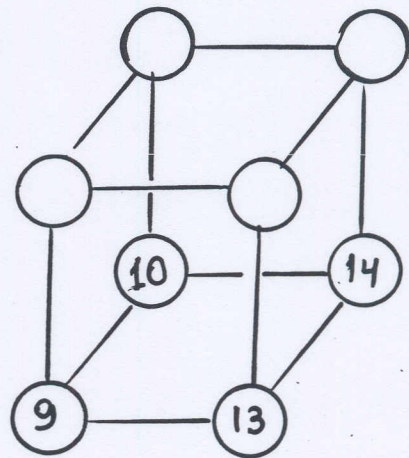
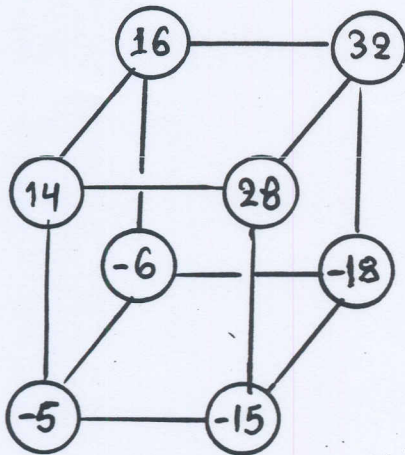


α) Αρχική κατανομή των A και B



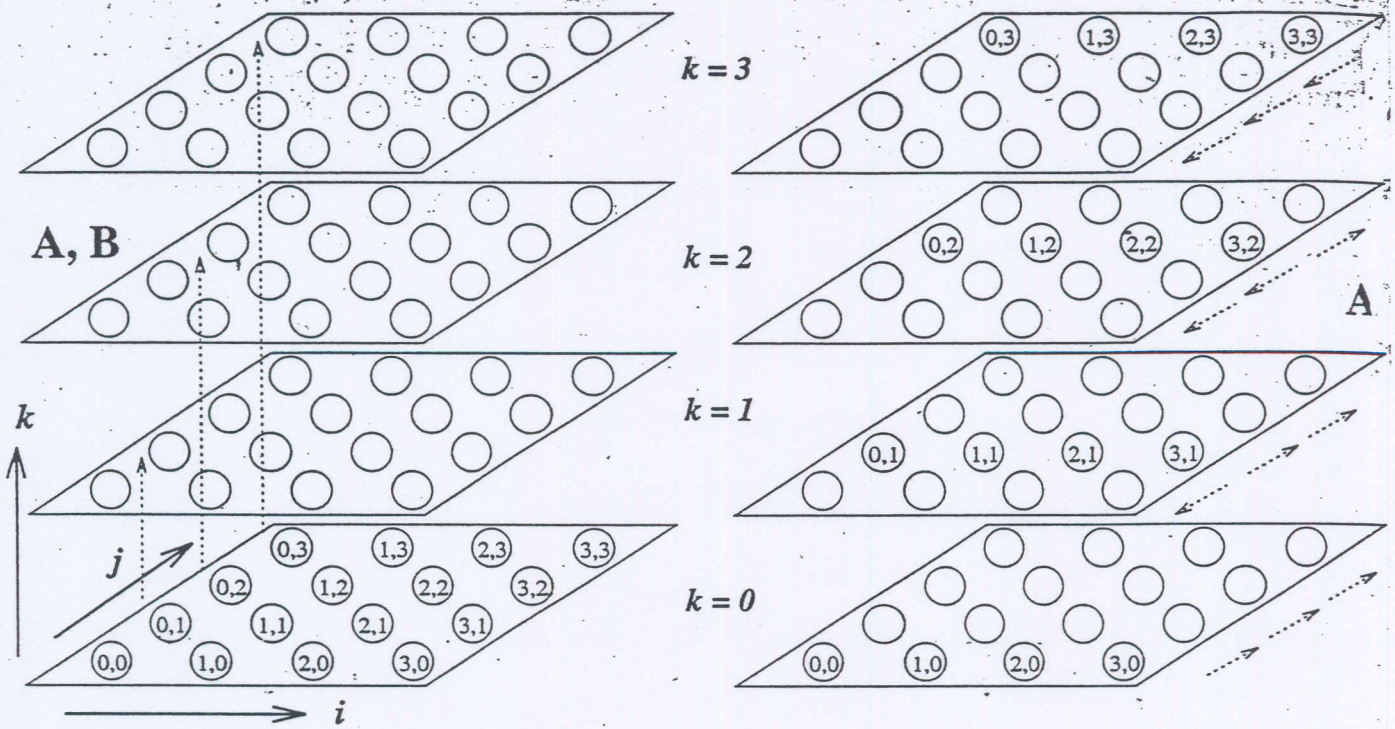
β) Μετακίνηση των  $A[i,j]$  από  $P_{i,j,0} \rightarrow P_{i,j,j}$

Μετακίνηση των  $B[i,j]$  από  $P_{i,j,0} \rightarrow P_{i,j,i}$



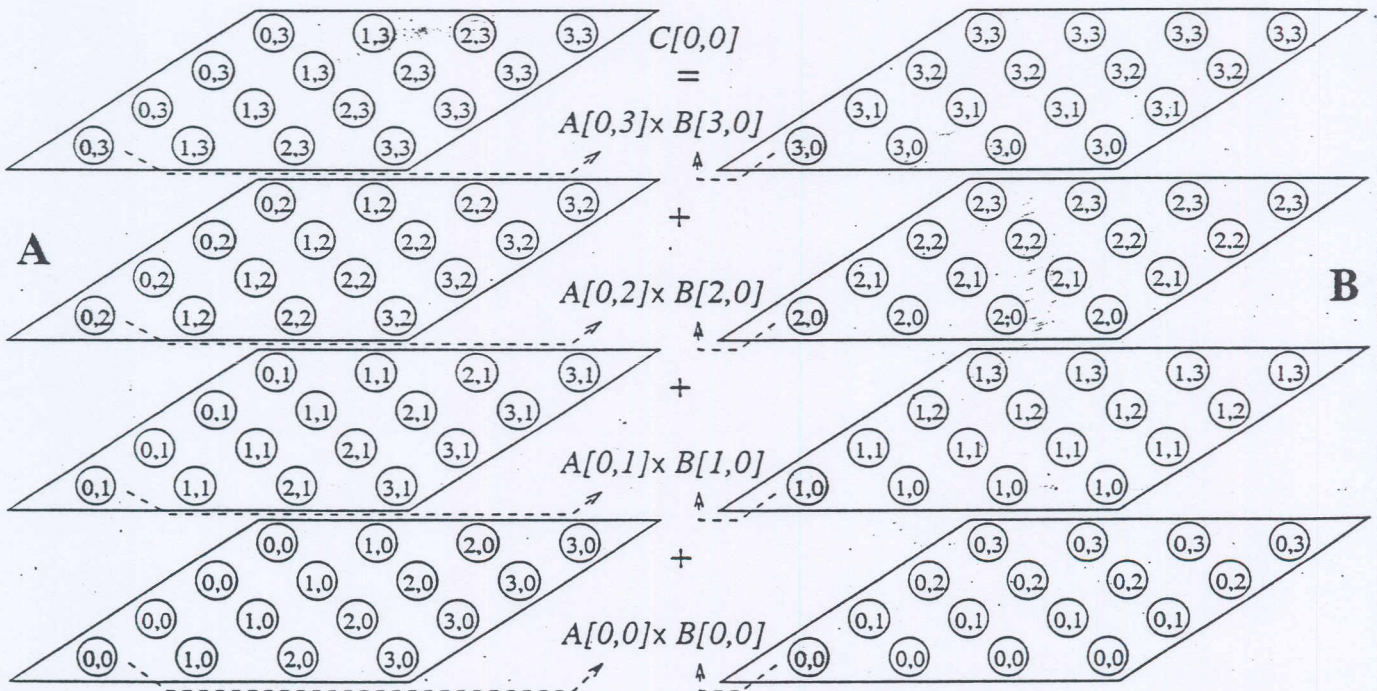
β) Υπολογισμός των γινόμενων  
 $C(i,j,k) = A(i,j,k) * B(i,j,k)$

γ) Υπολογισμός των αθροισμάτων  
 $C(i,j,0) = \sum_k C(i,j,k)$



(α) Αρχική κατανομή των πινάκων A και B

(β) Μετακίνηση των στοιχείων  $A[i, j]$  από τον  $P_{i,j,0}$  στον  $P_{i,j,j}$



(γ) Όλα τα  $A[i, j]$  εκπέμπονται κατά μήκος του άξονα  $j$

(δ) Όλα τα  $B[i, j]$  εκπέμπονται κατά μήκος του άξονα  $i$

Σχήμα 9 Βήματα Επικοινωνίας στον αλγόριθμο DNS για τον πολ/σμό δύο  $4 \times 4$  πινάκων A και B με  $N=64$  επεξεργαστές.

# Παράλληλοι Αλγόριθμοι Κατανεμημένου Μνήμης

## Πολλαπλασιασμού Πινάκων

$$\begin{matrix} m \times n & n \times k \\ (A, B) & \longrightarrow C = AB \\ & m \times k \end{matrix}$$

$$c_{ij} = \sum_{s=1}^n a_{is} b_{sj}, \quad 1 \leq i \leq m, \quad 1 \leq j \leq k$$

Κόστος κλασικού ακολουθιακού αλγορίθμου

$$O(mnk)$$

ή  $O(n^3)$  αν  $m \leq n$  και  $k \leq n$

Ακολουθιακός αλγόριθμος πολλαπλασμού πινάκων

procedure MATRIX MULTIPLICATION (A, B, C)

for  $i=1$  to  $m$  do

for  $j=1$  to  $k$  do

(1)  $c_{ij} \leftarrow 0$

(2) for  $s=1$  to  $n$  do

$c_{ij} \leftarrow c_{ij} + a_{is} b_{sj}$

end for

end for

end for

Γενικότερα: Κόστος  $O(n^x)$ ,  $2 \leq x \leq 3$

π.χ. Αλγόριθμος του Strassen:  $O(n^{2.81})$

## Block αλγόριθμος ποζ/σμού πινάκων

procedure **BLOCK-MAT-MULT**(A, B, C)

for  $i=0$  to  $q-1$  do

for  $j=0$  to  $q-1$  do

$C_{ij} = 0$

for  $s=0$  to  $q-1$  do

$C_{ij} = C_{ij} + A_{is} * B_{sj}$

end for

end for

end for

Στις block μεθόδους, κάθε πίνακας  $A$   $n \times n$  θεωρείται ότι είναι ένας  $q \times q$  πίνακας με στοιχεία blocks  $A_{ij}$  ( $i, j = 0, 1, \dots, q-1$ ) όπου κάθε block είναι ένας  $\frac{n}{q} \times \frac{n}{q}$  υποπίνακας.

Παράδειγμα:  $n=4$ ,  $q=2$

$$A = \begin{bmatrix} \alpha_{11} & \alpha_{12} & \alpha_{13} & \alpha_{14} \\ \alpha_{21} & \alpha_{22} & \alpha_{23} & \alpha_{24} \\ \alpha_{31} & \alpha_{32} & \alpha_{33} & \alpha_{34} \\ \alpha_{41} & \alpha_{42} & \alpha_{43} & \alpha_{44} \end{bmatrix} = \begin{bmatrix} A_{11} & A_{12} \\ A_{21} & A_{22} \end{bmatrix}$$

Για την παράλληλη υλοποίηση του block αλγορίθμου συνήθως επιλέγουμε  $q = \sqrt{p} \Leftrightarrow p = q^2$  επεξεργαστές.

## 1. Ένας απλός Παράλληλος Αλγόριθμος

Θεωρούμε ότι οι δύο  $n \times n$  πίνακες  $A$  και  $B$  είναι διαχωρισμένοι σε  $p$  τετραγωνικούς  $(n/\sqrt{p}) \times (n/\sqrt{p})$  υποπίνακες  $A_{ij}$  και  $B_{ij}$  ( $i, j = 0, 1, \dots, \sqrt{p}-1$ ). Οι  $p$  αυτοί υποπίνακες αντιστοιχίζονται σε ένα  $\sqrt{p} \times \sqrt{p}$  λογικό πλέγμα  $p$  επεξεργαστών  $P_{0,0}, \dots, P_{\sqrt{p}-1, \sqrt{p}-1}$ .

Ο επεξεργαστής  $P_{ij}$  αρχικά αποθηκεύει τους υποπίνακες  $A_{ij}$  και  $B_{ij}$  και μετά υπολογίζει τον υποπίνακα  $C_{ij}$  του πίνακα γινομένου  $C$ .

Για τον υπολογισμό του υποπίνακα  $C_{ij}$  ο επεξεργαστής χρειάζεται να αποκτήσει όλους τους υποπίνακες  $A_{ik}$  και  $B_{kj}$  ( $k = 0, 1, \dots, \sqrt{p}-1$ ). Αυτό επιτυγχάνεται με μια αποστολή όλων προς όλους των υποπινάκων του  $A$  στη κάθε γραμμή επεξεργαστών και με μια αποστολή όλων προς όλους των υποπινάκων του  $B$  στη κάθε στήλη επεξεργαστών. Αφού ο κάθε επεξεργαστής  $P_{ij}$  αποκτήσει τους υποπίνακες  $A_{i,0}, A_{i,1}, \dots, A_{i,\sqrt{p}-1}$  και  $B_{0,j}, B_{1,j}, \dots, B_{\sqrt{p}-1,j}$ , εκτελεί τον πολλαπλασιασμό και την πρόσθεση των υποπινάκων (βλ. γραμμές 7 και 8 στο σχήμα 1).

## Υπερκύβος

Υποθέτουμε ότι το λογικό πλέγμα των επεξεργαστών είναι εμφυτευμένο σε ένα υπερκύβο με  $p$  επεξεργαστές. Ο αλγόριθμος απαιτεί δύο βήματα αποστολής μηνυμάτων όλων προς όλους (στο κάθε βήμα εκτελούνται  $\sqrt{p}$  ταυτόχρονες αποστολές μηνύματος σε όλες τις γραμμές και στήλες του πλέγματος επεξεργαστών) μεταξύ των ομάδων με  $\sqrt{p}$  επεξεργαστές. Τα μηνύματα είναι υποπίνακες με  $n^2/p$  στοιχεία. Ο συνολικός χρόνος επικοινωνίας είναι:

$$T_p^{\text{comm}} = 2(t_s \log \sqrt{p} + t_w \frac{n^2}{p} (\sqrt{p} - 1))$$

Στη συνέχεια, ο κάθε επεξεργαστής υπολογίζει ένα υποπίνακα  $C_{ij}$  ο οποίος απαιτεί  $\sqrt{p}$  πολλαπλασιασμούς  $(n/\sqrt{p}) \times (n/\sqrt{p})$  υποπινάκων. Αυτό γίνεται σε υπολογιστικό χρόνο

$$T_p^{\text{comp}} = \sqrt{p} \times (n/\sqrt{p})^3 = n^3/p$$

Επομένως, ο συνολικός χρόνος της παράλληλης διάτρεξης είναι προσεγγιστικά :

$$T_p^{\text{yper}} = \frac{n^3}{p} + t_s \log p + 2t_w \frac{n^2}{\sqrt{p}}$$

Αρα το κόστος του απλού παράλληλου αλγορίθμου είναι:

$$p \cdot T_p^{\text{yper}} = n^3 + t_s p \log p + 2t_w n^2 \sqrt{p}.$$

το οποίο είναι βέλτιστο για  $p = O(n^2)$ .

## 2. Αλγόριθμος του Cannon

Ο αλγόριθμος του Cannon είναι μια πίο αποδοτική μορφή του απλού παράλληλου αλγορίθμου για τον πολλαπλασιασμό δύο πινάκων.

Θεωρούμε ότι οι δύο  $n \times n$  πίνακες  $A$  και  $B$  είναι διαχωρισμένοι σε  $p$  τετραγωνικούς  $(n/\sqrt{p}) \times (n/\sqrt{p})$  υποπίνακες  $A_{ij}$  και  $B_{ij}$  ( $i, j = 0, 1, \dots, \sqrt{p}-1$ ). Οι  $p$  αυτοί υποπίνακες αντιστοιχίζονται σε ένα  $\sqrt{p} \times \sqrt{p}$  λογικό πλέγμα  $p$  επεξεργαστών  $P_{0,0}, \dots, P_{\sqrt{p}-1, \sqrt{p}-1}$ .

Ο επεξεργαστής  $P_{ij}$  αρχικά αποθηκεύει τους υποπίνακες  $A_{ij}$  και  $B_{ij}$ . Αν και κάθε επεξεργαστής στην  $i$  γραμμή χρειάζεται όλους τους  $\sqrt{p}$  υποπίνακες  $A_{i,k}$ ,  $k = 0, 1, \dots, \sqrt{p}-1$ , είναι δυνατόν να δρομολογηθούν οι υπολογισμοί των  $\sqrt{p}$  επεξεργαστών στην  $i$  γραμμή έτσι ώστε, στη κάθε χρονική στιγμή, κάθε επεξεργαστής να χρησιμοποιεί ένα διαφορετικό υποπίνακα  $A_{i,k}$ .

Οι υποπίνακες αυτοί μπορεί να περιστρέφονται συστηματικά μεταξύ των επεξεργαστών μετά από κάθε πολλαπλασιασμό υποπινάκων, έτσι ώστε μετά από κάθε περιστροφή ο κάθε επεξεργαστής να αποκτά ένα νέο υποπίνακα  $A_{i,k}$ . Αν η ίδια δρομολόγηση εφαρμοσθεί και στις στήλες τότε στη κάθε χρονική στιγμή κανένας επεξεργαστής δεν κατέχει περισσότερα από ένα υποπίνακα από τον κάθε πίνακα.

## Πλέγμα

Αν χρησιμοποιήσουμε ένα αναδιπλούμενο  $\sqrt{p} \times \sqrt{p}$  πλέγμα επεξεργαστών αντί του υπερκύβου (η αποστολή μηνυμάτων γίνεται με αποθήκευση και προώθηση) τότε ο χρόνος της παράλληλης διάτρεξης επηρεάζεται μόνο στον συντελεστή του  $t_s$  και είναι:

$$T_p^{\text{mesh}} = \frac{n^3}{p} + 2t_s\sqrt{p} + 2t_w\frac{n^2}{\sqrt{p}}$$

Αν τα μηνύματά είναι μεγάλα, τότε ο χρόνος της παράλληλης εκτέλεσης του απλού αλγορίθμου είναι ο ίδιος και σε μη αναδιπλούμενο πλέγμα που υποστηρίζει αποστολή μηνυμάτων με διαχωρισμό και απόδοση και επικοινωνία δύο κατευθύνσεων.

Ετσι λοιπόν, η συνολικά απαιτούμενη μνήμη του αλγορίθμου για όλους τους επεξεργαστές είναι  $\Theta(n^2)$ . Ο αλγόριθμος του Cannon στηρίζεται πάνω σε αυτή την ιδέα.

Η δρομολόγηση για τον πολλαπλασιασμό των υποπίνακων με  $p = 16$  επεξεργαστές στον αλγόριθμο του Cannon παρουσιάζεται στο παρακάτω σχήμα 2.

$A_{0,0}$	$A_{0,1}$	$A_{0,2}$	$A_{0,3}$
$A_{1,0}$	$A_{1,1}$	$A_{1,2}$	$A_{1,3}$
$A_{2,0}$	$A_{2,1}$	$A_{2,2}$	$A_{2,3}$
$A_{3,0}$	$A_{3,1}$	$A_{3,2}$	$A_{3,3}$

(α) Αρχική διευσθέτηση του A

$B_{0,0}$	$B_{0,1}$	$B_{0,2}$	$B_{0,3}$
$B_{1,0}$	$B_{1,1}$	$B_{1,2}$	$B_{1,3}$
$B_{2,0}$	$B_{2,1}$	$B_{2,2}$	$B_{2,3}$
$B_{3,0}$	$B_{3,1}$	$B_{3,2}$	$B_{3,3}$

(β) Αρχική διευσθέτηση του B

$A_{0,0}$	$A_{0,1}$	$A_{0,2}$	$A_{0,3}$
$A_{1,1}$	$A_{1,2}$	$A_{1,3}$	$A_{1,0}$
$A_{2,2}$	$A_{2,3}$	$A_{2,0}$	$A_{2,1}$
$A_{3,3}$	$A_{3,0}$	$A_{3,1}$	$A_{3,2}$

(γ) Οι πίνακες A και B μετά την αρχική διευσθέτηση

$A_{0,1}$	$A_{0,2}$	$A_{0,3}$	$A_{0,0}$
$A_{1,2}$	$A_{1,3}$	$A_{1,0}$	$A_{1,1}$
$A_{2,3}$	$A_{2,0}$	$A_{2,1}$	$A_{2,2}$
$A_{3,0}$	$A_{3,1}$	$A_{3,2}$	$A_{3,3}$

(δ) Τοποθετήσεις των υποπινάκων μετά την πρώτη ολίσθηση

$A_{0,2}$	$A_{0,3}$	$A_{0,0}$	$A_{0,1}$
$A_{1,3}$	$A_{1,0}$	$A_{1,1}$	$A_{1,2}$
$A_{2,0}$	$A_{2,1}$	$A_{2,2}$	$A_{2,3}$
$A_{3,1}$	$A_{3,2}$	$A_{3,3}$	$A_{3,0}$

(ε) Τοποθετήσεις των υποπινάκων μετά την δεύτερη ολίσθηση

$A_{0,3}$	$A_{0,0}$	$A_{0,1}$	$A_{0,2}$
$A_{1,0}$	$A_{1,1}$	$A_{1,2}$	$A_{1,3}$
$A_{2,1}$	$A_{2,2}$	$A_{2,3}$	$A_{2,0}$
$A_{3,2}$	$A_{3,3}$	$A_{3,0}$	$A_{3,1}$

(στ) Τοποθετήσεις των υποπινάκων μετά την τρίτη ολίσθηση

Σχήμα 2 Βήματα Επικοινωνίας στον αλγόριθμο του Cannon ( $p = 16$ ).

Στο πρώτο βήμα επικοινωνίας του αλγορίθμου διευθετούνται οι υποπίνακες των  $A$  και  $B$  έτσι ώστε ο κάθε επεξεργαστής να πολλαπλασιάζει τους τοπικούς του υποπίνακες.

Όπως φαίνεται στο σχήμα 2(α), η διευθέτηση αυτή επιτυγχάνεται για τον πίνακα  $A$  με ολίσθηση όλων των υποπινάκων  $A_{i,j}$  προς τα αριστερά (με αναδίπλωση) κατά  $i$  θέσεις.

Παρόμοια, όπως φαίνεται στο σχήμα 2(β), όλοι οι υποπίνακες  $B_{i,j}$  ολισθαίνουν προς τα πάνω (με αναδίπλωση) κατά  $j$  θέσεις.

Οι δύο ανωτέρω λειτουργίες κυκλικής ολίσθησης σε κάθε γραμμή και στήλη των επεξεργαστών τροφοδοτούν τον κάθε επεξεργαστή  $P_{i,j}$  με τους υποπίνακες  $A_{i,(j+i) \bmod \sqrt{p}}$  και  $B_{(i+j) \bmod \sqrt{p},j}$ .

Στο σχήμα 2(γ) φαίνονται οι υποπίνακες των  $A$  και  $B$  μετά από την πρώτη διευθέτηση, όπου ο κάθε επεξεργαστής είναι έτοιμος να εκτελέσει τον πρώτο πολλαπλασιασμό υποπινάκων.

Μετά από το βήμα του πολλαπλασιασμού υποπινάκων, κάθε υποπίνακας του  $A$  μετακινείται μία θέση αριστερά και κάθε υποπίνακας του  $B$  μετακινείται μία θέση πάνω (με αναδίπλωση), όπως φαίνεται στο σχήμα 2(δ).

Μία διαδοχική σειρά από  $\sqrt{p}$  τέτοιους πολλαπλασιασμούς υποπινάκων και ζευγών ολισθήσεων απλού βήματος για κάθε  $A_{i,k}$  και  $B_{k,j}$  ( $k = 0, 1, \dots, \sqrt{p} - 1$ ) στον κάθε επεξεργαστή  $P_{i,j}$  υπολογίζει τον υποπίνακα  $C_{i,j}$  του τελικού πίνακα γινομένου  $C$ .

### Υπερκύβος

Η αρχική διευθέτηση των δύο πινάκων (βλ. σχήμα 2(α), (β)) περιλαμβάνει μια κατά γραμμές και μία κατά στήλες κυκλική ολίσθηση. Στις ολισθήσεις αυτές η μέγιστη απόσταση ολίσθησης ενός υποπίνακα είναι  $\sqrt{p} - 1$ .

Σε ένα υπερκύβο (με αποστολή μηνυμάτων με διαχωρισμό και απόδοση) οι δύο λειτουργίες ολίσθησης απαιτούν συνολικό χρόνο

$$2\left(t_s + t_w \frac{n^2}{p} + t_h \log \sqrt{p}\right)$$

Κάθε μία από τις  $\sqrt{p}$  ολισθήσεις απλού βήματος στην φάση υπολογισμός-και-ολίσθηση του αλγορίθμου απαιτεί χρόνο  $t_s + t_w n^2/p$ .

Επομένως, ο συνολικός χρόνος επικοινωνίας (για τους δύο πίνακες) σε αυτή τη φάση του αλγορίθμου είναι:

$$T_p^{\text{comm}} = 2\left(t_s + t_w \frac{n^2}{p}\right) \sqrt{p}.$$

Αν ο  $p$  είναι αρκετά μεγάλος, τότε ο χρόνος επικοινωνίας για την αρχική διευθέτηση μπορεί να είναι αμελητέος σε σύγκριση με τον χρόνο που απαιτείται για την φάση υπολογισμού-και-ολίσθησης.

Στον αλγόριθμο αυτόν, ο κάθε επεξεργαστής εκτελεί  $\sqrt{p}$  πολλαπλασιασμούς  $(n/\sqrt{p}) \times (n/\sqrt{p})$  υποπινάκων. Αυτό γίνεται σε υπολογιστικό χρόνο

$$T_p^{\text{comp}} = \sqrt{p} \times (n/\sqrt{p})^3 = n^3/p$$

Επομένως, ο συνολικός χρόνος της παράλληλης διάτρεξης είναι:

$$T_p^{\text{total}} = \frac{n^3}{p} + 2\sqrt{p}t_s + 2t_w \frac{n^2}{\sqrt{p}}$$

Αρα το κόστος του παράλληλου αλγορίθμου του Cannon είναι το ίδιο με εκείνο του απλού παράλληλου αλγορίθμου.

### Πλέγμα

Αν για την υλοποίηση του αλγορίθμου του Cannon χρησιμοποιήσουμε ένα αναδιπλούμενο  $\sqrt{p} \times \sqrt{p}$  πλέγμα, τότε ο χρόνος που απαιτείται για την αρχική διευθέτηση των δύο πινάκων είναι

$$2\left(t_s + t_w \frac{n^2}{p}\right)\sqrt{p}$$

Ο ίδιος επίσης χρόνος απαιτείται και στην φάση υπολογισμού και-ολίσθησης του αλγορίθμου.

Επομένως, ο συνολικός χρόνος παράλληλης εκτέλεσης του αλγορίθμου του Cannon σε τετραγωνικό πλέγμα είναι:

$$T_p^{\text{mesh}} = \frac{n^3}{p} + 4\sqrt{p}t_s + 4t_w \frac{n^2}{\sqrt{p}}.$$

Πολλαπλασιασμός πίνακα με διάνυσμα  
(με διαφορετικούς διαχωρισμούς)

$$\begin{matrix} A & \cdot & u & = & v \\ n \times n & & n \times 1 & & n \times 1 \end{matrix}$$

Ακολουθιακός αλγόριθμος

Procedure MAT-VECT (A, u, v)

For  $i := 0$  to  $n-1$  do

$v_i := 0$

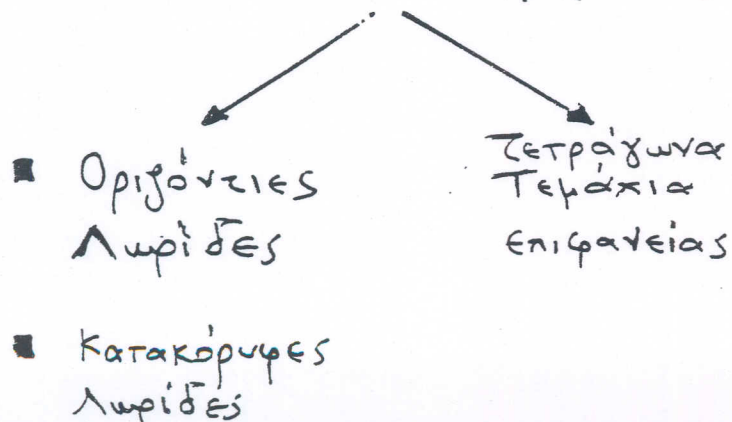
for  $j := 0$  to  $n-1$  do

$v_i := v_i + a_{ij} \cdot u_j$

Χρόνος ακολουθιακής εκτέλεσης:  $W = n^2$

(1 πολλαπλασιασμός + 1 πρόσθεση = 1 χρονική μονάδα)

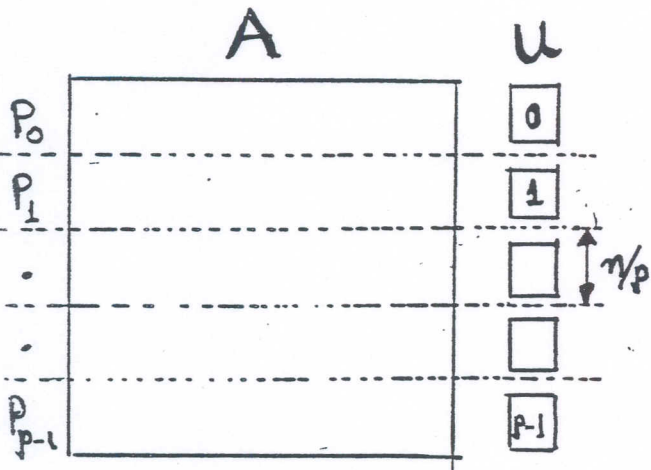
Παράλληλος αλγόριθμος



# Διαχωρισμός πίνακα κατά γραμμές

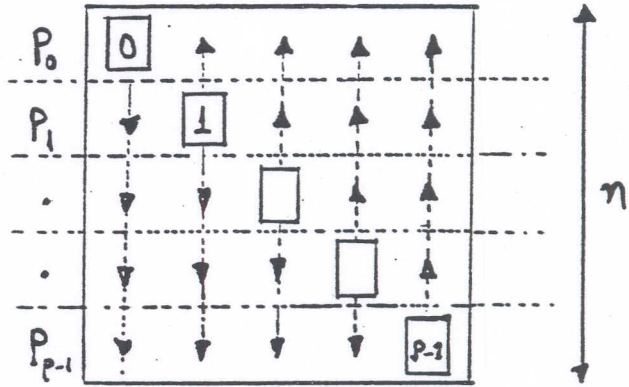
Αριθμός επεξεργαστών  $p = 2^n$  (ή  $2^m$  ζυγιστάρισμα  $2^m$ )

$\left. \begin{array}{l} 1 \text{ γραμμή } A \\ 1 \text{ στοιχείο } u \end{array} \right\} \rightarrow 1 \text{ επεξεργαστής}$



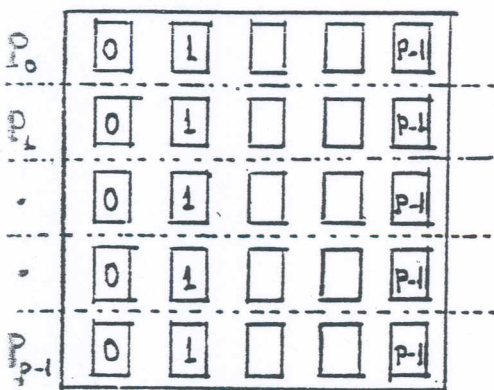
(α)

Αρχικός διαχωρισμός του A και του αρχικού διανύσματος u



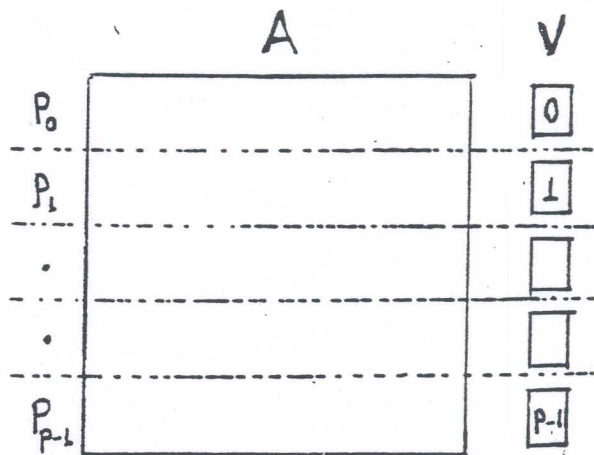
(β)

Κατανομή του διανύσματος u σε όλους τους επεξεργαστές με εκπομπή από όλους σε όλους.



(γ)

Μετά την εκπομπή ολόκληρο το διάνυσμα u κατανέμεται στον κάθε επεξεργαστή



(δ)

Τελική κατανομή του πίνακα και του διανύσματος αποτελέσματος v

Ο επεξεργαστής  $P_i$  αρχικά αποθηκεύει το  $u_i$   
 και τα στοιχεία  $a_{i0}, a_{i1}, \dots, a_{i,n-1}$  του  $A$   
 και αναγράφει τον υπολογισμό του  $V_i$ .

Σύμφωνα με τον ακριβώς αλγόριθμο το διάνυσμα  $u$   
 πολλαπλασιάζεται με κάθε γραμμή του  $A$ . Επομένως κάθε  
 επεξεργαστής χρειάζεται ολόκληρο το διάνυσμα  $u$ .

Επειδή ο κάθε επεξεργαστής ξεκινά κατέχοντας μόνο ένα  
 στοιχείο του  $u$ , απαιτείται μια επικοινωνία (αποστολή)  
 όλων των στοιχείων του  $u$  από όλους τους επεξεργαστές  
 προς όλους. (βλ. (b)).

Αφού το διάνυσμα  $u$  καταμεριστεί σε όλους τους επεξεργαστές  
 (βλ. (b)), τότε ο επεξεργαστής  $P_i$  υπολογίζει τη συνιστώσα

$$V_i = \sum_{j=0}^{n-1} a_{ij} u_j$$

Όπως φαίνεται στο σχήμα (d), το διάνυσμα αποτέλεσμα  
 $V$  αποθηκεύεται ακριβώς με τον ίδιο τρόπο όπως το  
 αρχικό διάνυσμα  $u$ .

Χρόνος παράλληλης εκτέλεσης  $O(n)$  βέλτιστος  
 με  $p=n$  επεξεργαστές

Αποστολή διανύσματος όλων προς όλους :  $O(n)$

Πολλαπλασίωση μιας γραμμής του  $A$  με το  $u$  :  $O(n)$

Αριθμός επεξεργασιών  $p < n$

$$\left. \begin{array}{l} \frac{n}{p} \text{ γραμμές του } A \\ \frac{n}{p} \text{ στοιχεία του } u \end{array} \right\} \rightarrow 1 \text{ επεξεργασία}$$

Αποστολή όλων προς όλους μηνυμάτων μεγέθους  $\frac{n}{p}$  (μεταξύ  $p$  επεξεργασιών)

$$\left. \right\} : t_s \log p + t_w \frac{n}{p} (p-1)$$

Ποσ/σμός  $\frac{n}{p}$  γραμμών του  $A$  με  $n$  στοιχεία του  $u$  στο κάθε επεξεργασία.

$$\left. \right\} : \frac{n^2}{p}$$

Χρόνοι παράλληλης εκτέλεσης

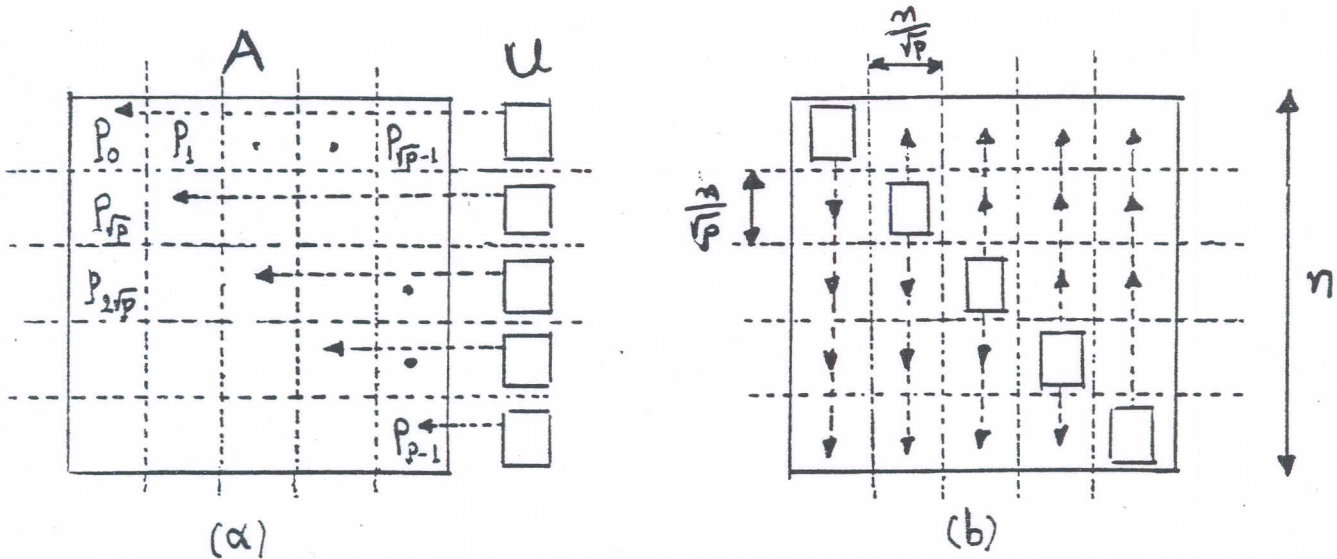
Υπερκύβος :  $T_p = \frac{n^2}{p} + t_s \log p + t_w n$   $\frac{p \text{ μεγάλο}}{p^3 (p-1)}$  βέλτερος  
αν  $p = O(n)$

Διδιάστατο δίκτυο :  $T_p = \frac{n^2}{p} + 2 t_s (\sqrt{p}-1) + t_w n$   
(με αναδίπλωση) wrap-around

2: Διαχωρισμός σε τετράγωνα τεμάχια.

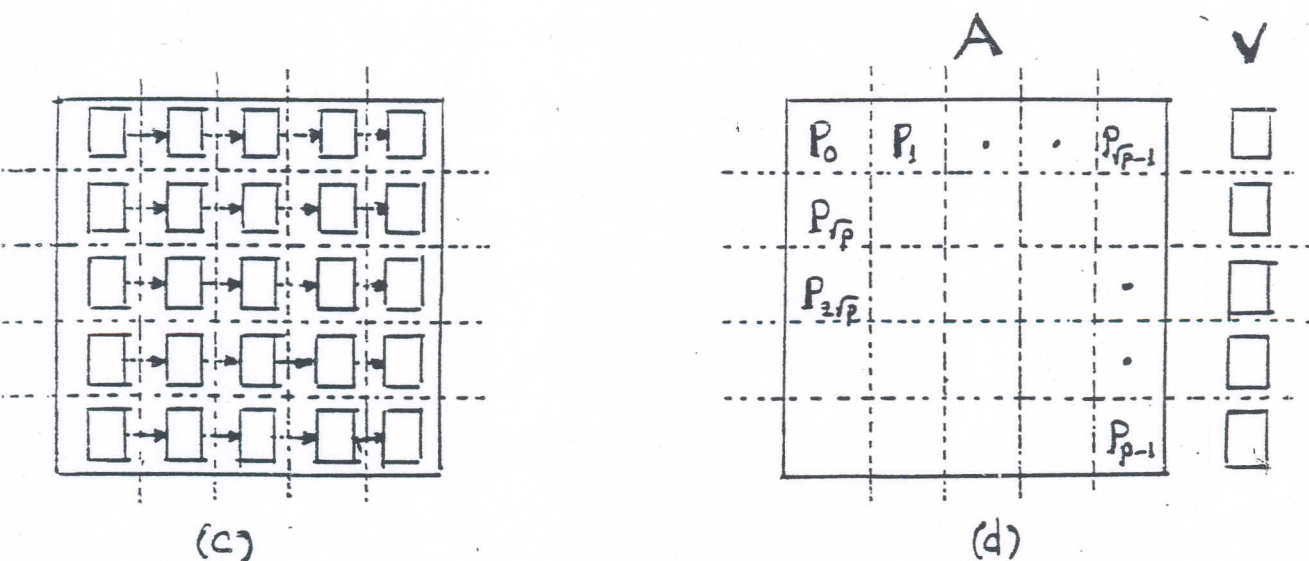
Αριθμός επεξεργασιών  $P = n^2$

1 στοιχείο του A } → 1 επεξεργασία  
 1 στοιχείο του U }



Κατανομή αρχικών δεδομένων και βήματα επικοινωνίας για την ενσωμάτωση του  $U$  κατά μήκος της διαγωνίου

Εκπομπή ενός προς όλους των τεμαχίων του  $U$  κατά μήκος των σειρών.



Συνδεδεμένη αλληλ κώμβου των γεικικών αποτελεσμάτων (ένος προς όλους)

Τεχική κατανομή του διανύματος αποτελέσματος  $V$

Σχήμα 2α

Ο πίνακας  $A$   $n \times n$  διαφοράζεται στους  $n^2$  επεξεργαστές έτσι ώστε κάθε επεξεργαστής καταχωρεί ένα στοιχείο.

Το  $n \times 1$  διάνυσμα  $u$  κατανέμεται στην τελευταία στήλη των  $n$  επεξεργαστών.

Επειδή ο αλγόριθμος πολλαπλασιάζει τα στοιχεία του  $u$  με τα αντίστοιχα στοιχεία της κάθε γραμμής του  $A$ , πρέπει το διάνυσμα  $u$  να καταμεριστεί έτσι ώστε το στοιχείο  $u_i$  να είναι διαθέσιμο από το  $i$  στοιχείο κάθε γραμμής του  $A$ . Τα βήματα επικοινωνίας που απαιτούνται γιαυτό φαίνονται στο Σχήμα 2 (α) και (β).

Πριν τον πολλαπλασιασμό, τα στοιχεία του  $A$  και του  $u$  πρέπει να βρίσκονται στις ίδιες σχετικές θέσεις όπως φαίνεται στο Σχήμα 2 (γ).

Ο αλγόριθμος αυτός εκτελεί 3 βασικές λειτουργίες επικοινωνίας που είναι:

1. Ένας προς ένα επικοινωνία για την διευθέτηση του διανύσματος  $u$  στην κυρία διαγώνιο.
2. Ένας προς όλους εκπομπή του κάθε στοιχείου του  $u$  στους  $n$  επεξεργαστές της κάθε στήλης.
3. Συλλογή απλού κόμβου σε κάθε γραμμή.

Οι παραπάνω λειτουργίες απαιτούν χρόνο

$O(n)$  στο διδιάστατο δίκτυο

$O(\log n)$  στον υπερκύβο

Πως παραλληλως εκτελεσθεις

με  $p = n^2$  επεξεργαστες

	<u>Χρονος (<math>T_p</math>)</u>	<u>Κοστος (<math>p \cdot T_p</math>)</u>
<u>Διδι'αυτατο δικτυο</u>	$O(n)$	$O(n^3)$
<u>Υπερκυβος</u>	$O(\log n)$	$O(n^2 \log n)$

Ο αλγοριθμος δεν είναι βελτιστος .

Αριθμός επεξεργασιών  $p < n^2$

$\frac{n}{\sqrt{p}} \times \frac{n}{\sqrt{p}}$  υποπίνακας του  $A$  }  $\rightarrow$  1 επεξεργασία  
 $\frac{n}{\sqrt{p}}$  στοιχεία του  $u$  }

Χρόνος παράλληλης εκτέλεσης

1) Διαδοχικό δίκτυο με διαδοχικό και απόδοση

$$T_p = T_{\text{comp}} + T_1 + T_2 + T_3$$

όπου:

$$T_{\text{comp}} = \frac{n^2}{p} \quad \leftarrow \text{υπολογιστικός χρόνος}$$

$$T_1 = t_s + t_w \frac{n}{\sqrt{p}} + t_h \sqrt{p} \quad \leftarrow \text{χρόνος διεύθυνσης του } u \text{ στην κύρια διαγώνιο}$$

$$T_2 = (t_s + t_w \frac{n}{\sqrt{p}}) \log \sqrt{p} + t_h \sqrt{p} \quad \leftarrow \text{χρόνος απόδοσης του } u \text{ κατά βήμα}$$

$$T_3 = (t_s + t_w \frac{n}{\sqrt{p}}) \log \sqrt{p} + t_h \sqrt{p} \quad \leftarrow \text{χρόνος συσπύσεως}$$

Αρα  $T_p \approx \frac{n^2}{p} + t_s \log p + t_w \frac{n}{\sqrt{p}} \log p + 3 t_h \sqrt{p}$

B) Διδιόθωτο δίκτυο με αποθήκευση και προώθηση

Χρόνος παράλληλης εκτέλεσης

$$T_p = \frac{n^2}{p} + 2t_s\sqrt{p} + 3t_w \cdot n$$

Σύγκριση των διαχωρισμών 1) κατά σπινόμενα γυρίδια και  
2) κατά τετράγωνα τεμάχια.

$$1) T_p = \frac{n^2}{p} + 2t_s(\sqrt{p}-1) + t_w n$$

$$2) T_p = \frac{n^2}{p} + t_s \log p + t_w \frac{n}{\sqrt{p}} \log p + 3t_s \sqrt{p}$$

Ο πολλαπλασιασμός πίνακα με διάνυσμα είναι ταχύτερα  
στον διαχωρισμό σε block τετραγωνικές περιοχές

Το συμπέρασμα είναι το ίδιο και στον υπερκύβο.